

## СПЕКТРОСКОПИЯ АТМОСФЕРНЫХ ГАЗОВ

УДК 546.224-31 : 621.373.826

В.Н. Арефьев, К.Н. Вишератин

### ИССЛЕДОВАНИЕ СПЕКТРАЛЬНЫХ ПАРАМЕТРОВ КОЛЕБАТЕЛЬНО-ВРАЩАТЕЛЬНЫХ ЛИНИЙ $\text{SO}_2$ ПОЛОСЫ $\nu_1$

Приведены результаты измерений коэффициентов поглощения двуокисью серы излучения четырех линий  $\text{CO}_2$ -лазера. По этим результатам уточнены интенсивности и полуширины четырех линий поглощения  $\text{SO}_2$ .

Двуокись серы является одной из малых газовых составляющих атмосферы, содержание которой в зависимости от наличия местных источников колебается от  $10^{-3}$  до 10 ppm. Низкочастотное крыло колебательно-вращательной полосы  $\nu_1 \text{ SO}_2$  (с центром вблизи  $1151 \text{ cm}^{-1}$ ) попадает в область окна прозрачности атмосферы 3–13 мкм, что делает необходимым учет влияния этой полосы на ослабление излучения лазеров, работающих в этой области спектра.

Экспериментальные данные о поглощении излучения  $\text{CO}_2$ -лазера двуокисью серы немногочисленны. Например, в [1] были определены коэффициенты поглощения смеси  $\text{SO}_2$  – воздух при давлении  $\text{SO}_2$  0,94 atm и полном давлении смеси 1 atm. Коэффициенты поглощения смеси  $\text{SO}_2$  – воздух можно вычислить с помощью спектральных параметров линий поглощения, приведенных в [2], однако точность расчетов для лазерного излучения зачастую оказывается невысокой. В последнее время с помощью диодного лазера измерены частоты ряда линий поглощения  $\text{SO}_2$ , совпадающих или близких к линиям  $\text{CO}_2$ -лазера [3]. Точное знание положения линий поглощения и генерации дает возможность определять спектральные параметры колебательно-вращательных линий  $\text{SO}_2$  по методике, основанной на анализе зависимости коэффициента поглощения на частоте лазерной линии от давления газа.

Ниже приведены результаты измерения коэффициентов поглощения  $\text{SO}_2$  и смесей  $\text{SO}_2$  с воздухом на частотах линий генерации  $\text{CO}_2$ -лазера в области 9,4 мкм при давлениях  $\text{SO}_2$  0,1–40 торр, воздуха 0–1 atm и комнатной температуре с помощью спектрального комплекса, который включал перестраиваемый  $\text{CO}_2$ -лазер, систему создания модельных сред, кюветы, усилительно-регистрирующую систему с микро-ЭВМ (рис. 1).

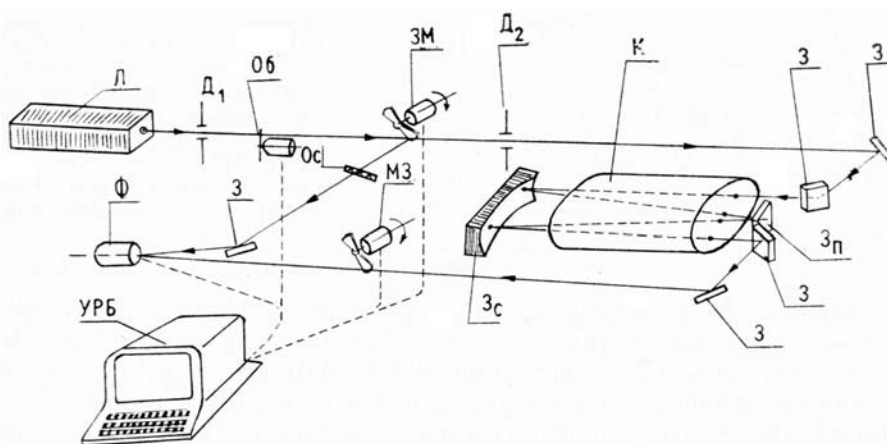


Рис. 1. Схема экспериментальной установки:  $L$  –  $\text{CO}_2$ -лазер;  $D_1$ ,  $D_2$  – диафрагмы;  $Ob$  – обтюоратор;  $ZM$  – зеркальный модулятор;  $Oc$  – ослабитель;  $M3$  – механическая заслонка;  $\Phi$  – фотоприемник;  $K$  – сменная кювета;  $3_c$  – зеркало сферическое;  $3_n$  – зеркало плоское;  $3$  – поворотные зеркала; УРБ – усилительно регистрирующий блок с ЭВМ

Перестраиваемый  $\text{CO}_2$ -лазер собран на каркасе из инваровых стержней по схеме Якоби [4] и работает в одномодовом одночастотном режиме. Перестройка длины волн излучения осуществляется без изменения параметров резонатора перемещением в плоскости развертки спектра генерации лазера экрана с диафрагмой. Конструкция газоразрядной трубки позволяет производить замену рабочих смесей и работать на изотопах двуокиси углерода. Питание лазера осуществляется от стабилизированного источника

ИП-06. Активная стабилизация частоты обеспечивает стабильность частоты порядка  $10^{-7}$ , что при длине резонатора 265 см соответствует спектральной ширине линии генерации  $1,5 \cdot 10^{-5} \text{ см}^{-1}$ .

Установка осуществлена по двухлучевой схеме. Промодулированный обтюратором с частотой 1000 Гц луч CO<sub>2</sub>-лазера направляется на охлаждаемый жидким азотом фотоприемник (фотосопротивление на основе германия, легированного золотом) с помощью переключателя каналов (зеркального модулятора), попеременно проходя через «измерительный» канал (вне кюветы). Механическая защелка перекрывает оба луча для регистрации «нулевой линии». Аттенюатор из мелкочаистой сетки служит для согласования интенсивностей в двух каналах. Сферическое и плоское зеркала обеспечивают четырехкратное прохождение излучения через кювету. Сменные кюветы длиной от 3 до 55 см сделаны из кварцевого стекла с окнами из KPS-5 или NaCl и могут нагреваться или охлаждаться с помощью горячего или холодного воздуха (азота), подаваемого в рубашку кювет. Температура в кюветах поддерживается автоматически в диапазоне 40–50°C с помощью системы терmostатирования, включающей датчики температуры, электронный термометр и терморегулятор. Система создания модельных сред изготовлена из стекла и позволяет напускать в кюветы смеси с заданным составом и соотношением компонент и контролировать давление газа в кюветах с помощью вакуумметров ВИТ-2П, ВДГ-1 и манометра ППР-2М.

Электрический сигнал с фотоприемника усиливается узкополосным усилителем с синхронным детектором, опорное напряжение для которого снимается с обтюратора. Работой экспериментальной установки в процессе измерений управляет микроЭВМ «Электроника ДЗ-28». МикроЭВМ через блок интерфейсов принимает информацию с цифрового вольтметра и выводит результаты на цифровую печатающую устройство, а через блок управления и исполнительные устройства коммутирует измерения в каналах. Программа ЭВМ предусматривает защиту накапливаемых данных от сбоев, их фильтрацию, накопление информации до заданного отношения сигнал-шум. По окончании цикла измерений на печать выводятся значения парциального и общего давлений газов кюветы, пропускания, коэффициентов поглощения и их среднеквадратических отклонений.

Случайная погрешность измерений коэффициента поглощения, обусловленная в основном погрешностью вакуумметров (1–4%), составила 3–8% для интервала пропусканий 0,2–0,8 и 10–15% — для пропускания более 0,8.

Центр полосы поглощения двуокиси серымещен в коротковолновую область окна прозрачности атмосферы, поэтому измерения проводились на коротковолновой R-ветви спектра генерации CO<sub>2</sub>-лазера.

Сопоставление результатов измерений для смеси SO<sub>2</sub>—воздух с расчетами при использовании данных [2] показало, что при давлениях больше 70–150 торр расчеты и эксперимент согласуются в пределах 10–20%. По мере уменьшения давления для ряда линий наблюдаются значительные различия, особенно заметные в области давлений меньше 40 торр. Сказанное иллюстрирует рис. 2 и 3, где приведены коэффициенты поглощения излучения линий R26 и R14 CO<sub>2</sub>-лазера при различных парциальном ( $P_1$ ) и общем ( $P_2$ ) давлениях.

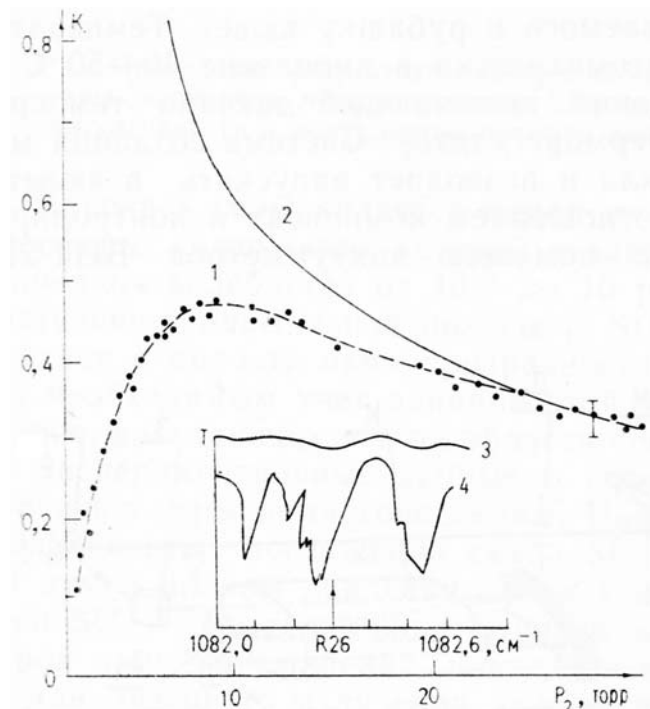


Рис. 2. Поглощение двуокисью серы излучения CO<sub>2</sub>-лазера на линии R26. 1: точки — эксперимент, штриховая линия — расчет по данным табл. 3; 2 — расчет по [2]; 3 — спектр смеси SO<sub>2</sub>+воздух при общем давлении 1 атм; 4 — спектр SO<sub>2</sub> при давлении 25 торр

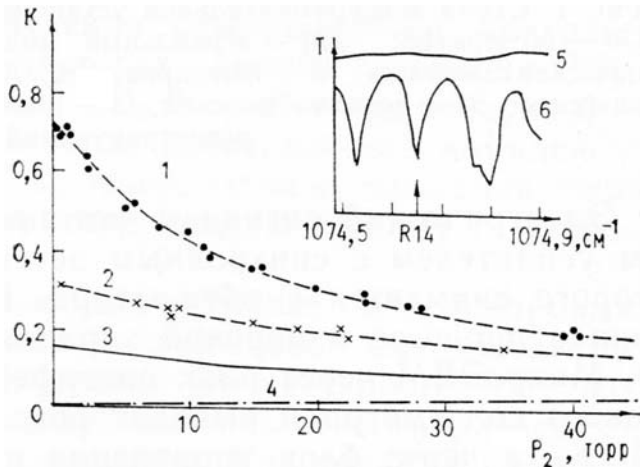


Рис. 3. Поглощение двуокисью серы в воздухе излучения CO<sub>2</sub>-лазера на линии R14. 1, 2: точки и крестики — эксперимент при  $P_1 = 3$  и  $P_2 = 10$  торр соответственно, штриховые линии — расчет по данным таблицы; 3 — расчет [2] при  $P_1 = 10$  торр; 4 — вклад крыльев; 5 — спектр смеси SO<sub>2</sub> — воздух при общем давлении 1 атм; 6 — спектр SO<sub>2</sub> при давлении 40 торр

Наблюдаемые факты, очевидно, связаны с тем, что колебательно-вращательные линии SO<sub>2</sub> расположены на расстоянии 0,001–0,01 см<sup>-1</sup> друг от друга и, как видно из приведенных на рис. 2 и 3 фрагментов спектра SO<sub>2</sub>, линейчатый при малых давлениях спектр превращается в квазинепрерывный при больших давлениях. В последнем случае отдельные неточности в задании параметров линий поглощения существенного влияния не оказывают.

Из рис. 2 и 3 видно, что вид зависимости коэффициента поглощения от давления различен при разных расстояниях между линиями поглощения и генерации. Такие зависимости позволяют уточнить спектральные параметры линий поглощения при условии близкого совпадения линий генерации и линий поглощения (выполняется практически для всех исследованных линий) и при изолированности последней. На практике это реализуется для немногих пар линий и, как правило, при низких давлениях, когда суммарный коэффициент поглощения в крыле соседних линий мал.

Спектральные параметры четырех линий поглощения SO<sub>2</sub> были найдены из экспериментов по стандартной методике минимизации среднеквадратического отклонения между экспериментальными данными и расчетом коэффициента поглощения по фойгтовскому контуру линии поглощения с учетом сдвига центра линии:

$$K = 2S\gamma\pi^{-3/2} \int_0^{\infty} \frac{\exp(-t^2) dt}{(\nu - \nu_0 - \Delta - t\gamma_0/\sqrt{\ln 2})^2 + \gamma^2},$$

где  $\gamma = \alpha_1 P_1 + \alpha_2 P_2$ ;  $\Delta = \beta_1 P_1 + \beta_2 P_2$ ;  $t = u(\nu_0 - \Delta)/c$ ;  $S$  — интенсивность, см<sup>-2</sup> · атм<sup>-1</sup>;  $\nu$  и  $\nu_0$  — частоты линий лазера и поглощения, см<sup>-1</sup>;  $\gamma_0$  — доплеровская полуширина, см<sup>-1</sup>;  $\gamma$  — лоренцевская полуширина, см<sup>-1</sup>;  $\Delta$  — сдвиг линии, см<sup>-1</sup>;  $\alpha_1$  и  $\alpha_2$  — коэффициенты самоуширения и уширения, см<sup>-1</sup> · атм<sup>-1</sup>;  $\beta_1$  и  $\beta_2$  — коэффициенты самосдвига и сдвига, см<sup>-1</sup> · атм<sup>-1</sup>;  $P_1$  и  $P_2$  — парциальные давления SO<sub>2</sub> и уширяющего газа, атм;  $u$  — скорость движения молекулы в направлении наблюдателя;  $c$  — скорость света.

Суммарный вклад крыльев соседних линий (0,1–5%) рассчитывался по данным [2] при  $\alpha_1 = 0,4$  см<sup>-1</sup> · атм<sup>-1</sup>. Найденные из экспериментов спектральные параметры линий SO<sub>2</sub> приведены в таблице, а расчеты с их помощью — на рис. 2 и 3 штриховыми линиями. В таблице для сравнения приведены данные из [2]. Для линий 18<sub>16.16</sub>–19<sub>17.3</sub> и 30<sub>14.16</sub>–31<sub>15.17</sub> интенсивности линий хорошо согласуются. Значения  $\alpha_2$  для этих линий точно определить не удается в силу больших значений коэффициента поглощения крыльев соседних линий (в таблице приведена оценка диапазона, в котором находится  $\alpha_2$ ).

Обращают на себя внимание результаты, полученные для колебательно-вращательных линий 36<sub>15.21</sub>–37<sub>16.22</sub> и 37<sub>12.36</sub>–38<sub>13.25</sub> интенсивности и полуширины линий почти в три раза меньше, чем в [2]. Поскольку для обеих линий поглощению является практически резонансным ( $\Delta\nu < 5 \cdot 10^{-4}$  см<sup>-1</sup>), сдвиг центров линий, как показала обработка экспериментальных данных, не проявляется и равное 0,02 отношение полуширины лазерной линии к доплеровской не ограничивает применение закона Бугера, то возможной причиной занижения  $S$  и  $\gamma$  могут быть особенности самой методики определения спектральных параметров (при  $\nu - \nu_0 < \gamma_L$  коэффициент поглощения пропорционален  $S/\gamma_L$  и вариация параметров контура (см. формулу) позволяет получить только правильное соотношение между интенсивностью и полушириной). В самом деле, если домножить полуширины  $\alpha_1$  и  $\alpha_2$  на отношение  $S$  [2]/ $S$  [наши данные], которое равно 3 для линии 36<sub>15.21</sub>–37<sub>16.22</sub> и 2,5 для линии 37<sub>12.26</sub>–38<sub>13.25</sub>

(считая данные [2] точными), то для первой линии значения  $\alpha_1$  и  $\alpha_2$  составят  $0,27$  и  $0,105 \text{ см}^{-1} \cdot \text{атм}^{-1}$ , а для второй линии —  $0,12 \text{ см}^{-1} \cdot \text{атм}^{-1}$ , что хорошо согласуется с данными для двух других линий, представленных в таблице.

#### Параметры линий поглощения $\text{SO}_2$

Линия $\text{SO}_2$	Линия $\text{CO}_2$ -лазера	$v_0, \text{ см}^{-1}$	$\Delta v \cdot 10^4, \text{ см}^{-1}$	$S \cdot 10^4, \text{ см}^{-2} \cdot \text{атм}^{-1}$	$\alpha_1, \text{ см}^{-1} \cdot \text{атм}^{-1}$	$\alpha_2, \text{ см}^{-1} \cdot \text{атм}^{-1}$	Источник
$18_{16,16} - 19_{17,3}$	R30	1084,6661* 1084,6658	310 306	120 130	0,40 —	0,06—0,13 0,11	[наши данные] [2]
$30_{14,16} - 31_{15,17}$	R26	1082,2932* 1082,2959	30 3	77 81	0,33 —	0,06—0,13 0,11	[наши данные] [2]
$36_{15,21} - 37_{16,22}$	R14	1074,6457* 1074,6479	4 18	13 37	0,09 —	0,035 0,11	[наши данные] [2]
$37_{12,26} - 38_{13,25}$	R28	1083,4793* 1083,4810	5 22	25 62	0,14 —	0,048 0,11	[наши данные] [2]

\* Данные [3].

Таким образом, результаты экспериментальных исследований зависимостей коэффициентов поглощения  $\text{SO}_2$  и смесей  $\text{SO}_2$  с воздухом позволяют сделать следующие выводы. Найденные из экспериментов значения интенсивностей и коэффициентов уширения  $\alpha_2$  согласуются с данными атласа [2], значение коэффициента самоуширения  $\alpha_1$  находится в пределах  $0,27 - 0,4 \text{ см}^{-1} \cdot \text{атм}^{-1}$ . Спектральные параметры, содержащиеся в [2], можно использовать для расчета коэффициентов поглощения смесей  $\text{SO}_2$ —воздух в приземном слое (общее давление  $300 - 760$  торр). Для больших высот и соответственно меньших давлений необходимо уточнение параметров, в первую очередь, положения центров линий поглощения  $\text{SO}_2$ .

1. Mayer A., Comera J., Charpentier H., Jaussand C. //Appl. Opt. 1978. V. 17. № 3. P. 391—393.
2. Rothman L.S., Soldman A., Yillis S.R. et al. //Appl. Opt. 1983. V. 22. № 10. P. 1616—1627.
3. Sattler J.P., Worchesky T.L. //J. Mol. Spectr. 1981. V. 88. № 2. P. 364—371.
4. А. с. 594842 СССР, МКИ<sup>3</sup> НО1 С 3/00. Лазер с перестраиваемым спектром генерации/Р.И. Солоухин, Ю.А. Якоби, Е.И. Вязович. Опубл. в Б. И. 1979. № 11.

Научно-производственное объединение «Тайфун»,  
г. Обнинск

Поступила в редакцию  
21 августа 1989 г.

**V. N. Aref'ev, K. N. Visheratin. Investigation of Spectral Parameters in the Vibration-rotation Lines of  $\text{SO}_2$  band  $v_1$ .**

The  $\text{CO}_2$ -laser absorption spectra of sulphur oxide and sulphur oxide/air mixtures are measured. The obtained results are employed for correcting intensities and halfwidths of four  $\text{SO}_2$  absorption lines.